

78

## 対称帯行列固有値解析

### —ページスワップに注目して—

日立 中研 村田 健郎

1. はじめに。最近、計算機の内部演算能力の向上にくらべて、ページスワップ時間の短縮の方には見るべき進歩がないために、待ち時間ネックが益々目立ってきた。流れ場や、電磁場の偏微分方程式を有限要素法で解くとか、固有値問題を解こうとかのとき特に著しい。ここでは、代表的な対称帯行列固有値解析アルゴリズムについての、そういう観点からの見直しを行い、併せてそのうちの二つ、すなはちスツルム・逆反復法系に属するものと帯QR法についての改良アルゴリズムを提示したい。

初めに、周知のスツルム・逆反復法を例にとって、問題の捉え方を例示したい。対称帯行列固有値問題  $Ax = \lambda x$  について考える。帯半幅を  $m$ 、元数を  $n$  とする。言葉を節約するために  $A$  は正定値とする。与えられた数  $\alpha$  より小さい固有値と固有ベクトル：

$$0 < \lambda_1 \leq \lambda_2 \leq \dots \leq \lambda_p < \alpha$$
$$v_1, v_2, \dots, v_p$$

を求めるといとする。大筋を示そう。

[1]  $A - \alpha I$  を  $U^T D U$  分解して  $D$  の負要素の個数  $C(\alpha)$  をスツルム法によって求める。それが "p" である。 $p = C(\alpha)$ 。

[2] バイセクション法を施行する：分岐点毎にスツルムを使用し、すなわち  $A - \alpha_k I = U^T D U$  を行って、 $D$  の負要素の個数  $C(\alpha_k)$  を求めることによって、各  $\lambda_1, \dots, \lambda_p$  を分離する。これで各  $\lambda_k$  每にその下界と上界:  $x_{uk} \leq \lambda_k \leq x_{ek}$  が判る。

[3] 各  $\lambda_k$  每に、 $\alpha_k = (x_{uk} + x_{ek})/2$  をシフト点にえらび、 $A - \alpha_k I$  を  $U^T D U$  分解した結果を使用して逆反復を行う：

$$\left[ \begin{array}{l} (A - \alpha I) b^{(l)} = w^{(l-1)}; \quad eig = \alpha_k + 1/w^{(l-1)^T} b^{(l)} \\ w^{(l)} = b / (b^T b)^{\frac{1}{2}}; \text{収束判定}; \quad l = l+1 \end{array} \right]$$

[4] 上で求まつた  $eig$  から改めて  $A - eig I$  を作り、それを  $U^T D U$  分解した結果を使用しての逆反復によって固有ベクトルを求める。最後に固有値も再びレーリー商によって更新する。（[4] は、粗い精度でよいときには省略される。）

スツルム・逆反復法と呼ばれる計算法の大筋は上述の如くであるが、問題点を整理しよう。

(1) CPU タイムと USE タイムに関し：

上述の方法に關し、従来言られて来たことは、 $U^T D U$  分解のための  $\frac{1}{2}m^2n$  回積和（ガウスなら  $2m^2n$ ）が一体何回必要か が主たる関心事であつて、逆反復法に入つて以後の、

反復1回当たりの $2mn$ 回積和(ガウスなら $3mn$ )は大したことない、ということであった。

CPUタイムについては、大筋はその通りである。ところがページスワップに関しては、UTDU分解のために1回当たり $mn/500$ 回(ガウスなら $3mn/500$ )、逆反復のために1回当たり $2mn/500$ 回(ガウスなら $3mn/500$ あるいは $6mn/500$ 回)\*、逆反復回数の方も大いに問題になる。

[例] 積和 $1\mu s$ 、ページスワップ1回当たり $20ms$ の機械で、 $m=80$ ,  $n=8000$ のとき、1回当たりのCPUタイムとページスワップタイムは。

$$\underline{\text{UTDU}} \quad 25 \text{ sec} : 25 \text{ sec} \quad \underline{\text{逆反復}} \quad 0.3 \text{ sec} : 50 \text{ sec}$$

である。スツルムは、 $\lambda_1$ のため10~20回程度、あと $\lambda_2, \dots, \lambda_p$ のためにひとつ当たり平均3~5回程度が普通である。いっぽう、逆反復の方は、よく分離された固有値に対しては3~10回程度であるが、近接固有値に対しては逆反復が50回~100回にも及ぶことが稀ではない。

## [2] 計算の信頼性・安全性：

特に近接固有値が密集している場合、上述の方法そのままでは収束が甚しく遅いことがある。ときには真値からほど遠い値に‘収束’したかの如くふらまつたり、あるいは時間制限にかかるて途中で打ちきられることがしばしばである。

この事情のため、汎用の数値計算ライブラリには採用し難いことになつている。

\* 本稿では、もつばら、 $mn$ 語が、そのプログラムに割り当てられた実メモリ容量をはるかに超える場合について議論する。

## 2. $Ax = \lambda Mx$ に対するスツルム・逆反復法の改良.

初めに、改良の要実を示そう：

- [1] STURM プログラムを、ページスワップ負擔が逆反復のためのがウスとくらべて無視できるほど小さくなるよう、巧妙なプログラムを書く。BISECT と INVRAY で使用。
- [2] BISECT プログラム：  $\text{epsbi}$  を与え、その大きさに応じて固有値を分離する。(STURMを使う。目新しいことはない。)
- [3] INVRAY プログラム： 次の三つの部分から成る。
  - (1) (BISECTによって) 單純根と判定された固有値に対し、再度スツルムを二回行って、シフト実  $\alpha$  を決定する。  
後続の二段の逆反復過程を、安全かつ効果的に行わせるためのものである。
  - (2) シフト実を、各分離区間毎に固定した通常の逆反復を行う。当該区間のそとの固有値に属する固有ベクトル成分を減衰させるためのものである。單純固有値のあるものについては、この段で固有値、固有ベクトル共に所望の精度に達することがある。(特に目新しいことはない。)
  - (3) レーリー-シフトつき逆反復：アルゴリズムに目新しいことはないが、使用するがウス消去法プログラムに工夫がある。
- [4] 全体のコントロール：CPU タイムと USE タイムの何れを重視するかに応じたコントロールが可能であるようにする。

## 2.1 STURM と BTSECT

オーソドックスな Martin-Wilkinson のアルゴリズムによることにする。<sup>(1)</sup> その原理：

$\alpha$  より小さい  $Ax = \lambda Mx$  の固有値の個数は、主座小列式：  
 $\det(A_k - \alpha M_k)$ ,  $k=1, \dots, n$  の符号変化の回数  $C(\alpha)$  に等しい。

この原理による Martin-Wilkinson のアルゴリズムは、

STURM       $a[i,j] = a_{i,j} - \alpha * m_{i,j}$  として、

$P[1] = \text{sign}(a[1,1]) ; ip = i ; count = 0$

do  $k = 2, n$

$i_{\min} = \max(1, k-m_1) ; j_{\max} = \min(k+m_1, n)$

do  $i = i_{\min}, k-1$

if  $abs(a[i,i]) < abs(a[k,i])$  then

$ip = -ip$

do  $j = i, j_{\max}$

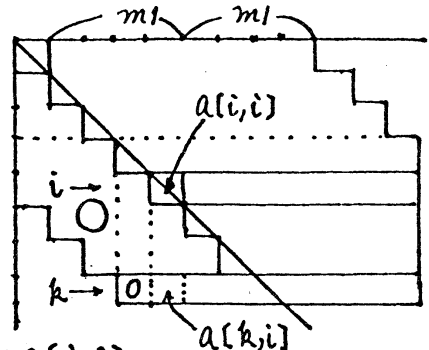
$a[i,j] \leftrightarrow a[k,j]$

if  $a[i,i] \neq 0$  then

$t = -a[k,i]/a[i,i]$

do  $j = i, j_{\max}$

$a[k,j] = a[k,j] + t * a[i,j]$



$P[k] = ip \prod_{i=1}^k \text{sign}(a[i,i])$

if  $P[k-1] * P[k] < 0$  then  $count = count + 1$

上のスツルムを使って、 $\alpha_l$  より小さい固有値の個数  $\gamma = count$  を求めたのち、 $0 < \lambda_1 \leq \lambda_2 \leq \dots \leq \lambda_p < \alpha_l$  なる入力を  $\text{epsbi}$  の粗さで分離するためのプログラム BISECT は次のようになる：

## BISECT

$x_u[k]$ ,  $x_l[k]$ ,  $n_c[k]$ ,  $k=1, \dots, p$  を用意する。

do  $k=1, p$

$x_l[k] = \alpha_l$ ; $n_c[k] = p$ ; $x_u[k] = 0.0$
---

$k=1$

repeat

repeat
--------

$\alpha = (x_u[k] + x_l[k])/2$ ; Call STURM
---

do $i=k, count$
-----------------

$x_l[i] = \alpha$ ; $n_c[i] = count$
--------------------------------------

do $i=count+1, p$
-------------------

$x_u[i] = \max(\alpha, x_u[i])$
---------------------------------

until $k \geq n_c[k]$ or $x_l[k] - x_u[k] \leq \text{epsbi}$
--

if  $k = n_c[k]$  then

$k = k+1$
-----------

else

do $i=k, count$
-----------------

$x_u[i] = x_u[k]$
-------------------

$k = count+1$
---------------

until $k > p$
---------------

### STURM のプログラムについて。

スツルムにおいては、欲しいのは Count 値だけであって、

三角分解結果は不要である。そこで、ページスワップを減らすために、約  $2m^2$  語のワークエリアを用意して、それをサイクリックに使うことによって目的を達するようにプログラムを書く。また、 $A - \alpha M$  を先に作ってしまうのではなく、各段のガウス過程の直前に  $k+m_1$  行の  $a_{k+m_1, j} + \alpha \cdot m_{k+m_1, j}$  を作る。

プログラムの解説を助けるために、 $m_1 = 3$  の場合について例示しよう。

消去の度に左シフトという技巧を使う。 $k=1, 2, 3$  までは特別だが簡単で、下図左のようになる。

$k=4$  の段：4番の方程式の係数  $a_{4,j} - \alpha * m_{4,j}$  を  $aw[ , 4]$  に作り、これに対する消去作業を行う。消去の度に左シフトを行う。完了したらそれを  $aw[ , 1]$  に収める。

$k=5$  の段：  $aw[ , 2], aw[ , 3], aw[ , 1]$  の順にヒボット方程式が使われる。 . . .

$aw[ , 1]$	$a_{11} \dots$	$a_{11} \dots$	$a_{44} \dots a_{47} \dots$
$aw[ , 2]$	$a_{22} \dots$	$a_{22} \dots$	$a_{22} \circ$
$aw[ , 3]$	$a_{33} \dots$	$a_{33} \dots$	$a_{33} \vdots$
$aw[ , 4]$	$a_{44} \dots a_{44} \dots a_{47}$	$a_{44} \dots a_{47} \dots$	$a_{52} \dots a_{55} a_{58}$
	( $k=4$ スタート)	(消去完)	( $k=5$ スタート)

$k=m_1$  までのところは簡単だから省略して、 $k=m_1+1$  以降のプログラムを示そう。(次頁)

(ノート) 差分法や有限要素法によって作られた行列 A や M は、帯のふちと、真中三本ボンゼロで、あと帯の中もゼロというようになっているから、これらは、インデックスつきのパワクされたアレイに収めておき、消去作業の直前に  $aw[ , m]$  に  $aw[ j-k+m, m] = a_{k,j} - \alpha * m_{k,j}$  とやって作る。( { } の部分。)

$$m = m_1 + 1; \quad mm = 2m_1 + 1 \quad ; \quad \text{eps} = 1.0 * 10^{-16}$$

do  $k = m_1 + 1, n$

$$j_{\max} = \min(n, k+m_1)$$

do  $j = k-m_1, j_{\max}$

$$aw[j-k+m, m] = a_{k,j} - \alpha * m_{k,j}$$

do  $j = j_{\max} + 1, k+m_1 \quad aw[j-k+m, m] = 0.0$

$$kq = (k-1) \div m_1; \quad ist = k - kq * m_1$$

do  $iw = ist, m_1$

if  $\text{abs}(aw[1, iw]) < \text{abs}(aw[1, m])$  then

$$ip = -ip$$

do  $jw = 1, mm \quad aw[jw, iw] \leftarrow aw[jw, m]$

if  $aw[1, iw] \neq 0.0$  then

$$piw[(kq-1)*m_1 + iw] = aw[1, iw]; \quad t = -aw[1, m] / aw[1, iw]$$

do  $jw = 2, mm$

$$aw[jw-1, m] = aw[jw, m] + t * aw[jw, iw]$$

$aw[mm, m] = 0.0$

else

$$piw[(kq-1)*m_1 + iw] = \text{eps}; \quad ir = ir + 1$$

do  $jw = 2, mm$

$$aw[jw-1, m] = aw[jw, m]$$

$aw[mm, m] = 0.0$

do  $iw = 1, ist-1$

if  $\text{abs}(aw[1, iw]) < \text{abs}(aw[1, m])$  then

$$ip = -ip$$

do  $jw = 1, mm \quad aw[jw, iw] \leftarrow aw[jw, m]$

if  $aw[1, iw] \neq 0.0$  then

$$piw[kq*m_1 + iw] = aw[1, iw]; \quad t = -aw[1, m] / aw[1, iw]$$

do  $jw = 2, mm$

$$aw[jw-1, m] = aw[jw, m] + t * aw[jw, iw]$$

$aw[mm, m] = 0.0$

else

$$piw[kq*m_1 + iw] = \text{eps}; \quad ir = ir + 1$$

do  $jw = 2, mm$

$$aw[jw-1, m] = aw[jw, m]$$

$aw[mm, m] = 0.0$

$$piw[k] = aw[1, m]$$

do  $jw = 1, mm$

$$aw[jw, ist] = aw[jw, m]$$

$$piw[k] = aw[1, k]; \quad p[k] = \prod_{i=1}^k \text{sign}(piw[i])$$

if  $p[k-1] * p[k] < 0$  then  $\text{count} = \text{count} + 1$

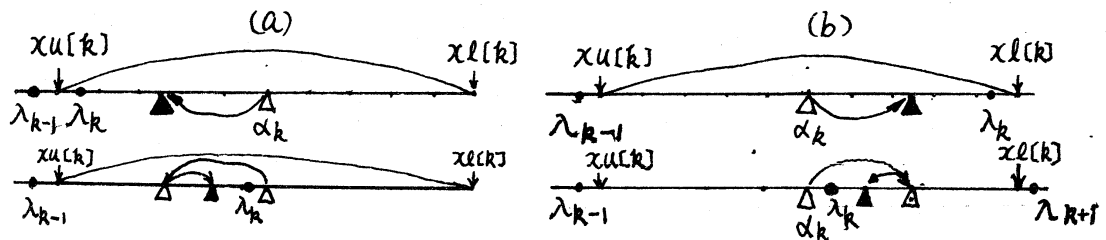
} {1}

## 2.2 INVRAY

前節の BISECT によって  $xu[k]$  と  $xl[k]$  の間にはさまれた  $\lambda_k$  を、逆反復法によって求めるわけであるが、原理的には、

$$\alpha_k = (xu[k] + xl[k])/2$$

をシフト差にえらんでの逆反復法を行なえば、必ず収束する筈である。ところが、たとえば下図のような状況のとき、収束ははなはだしく遅い。(特にページスワップの負擔が大きい) そこで、



- (1) 逆反復に入る前に、あと二回余計に二分法を行うことによってシフト差を定める。(上例の場合▲に移す。)

ところがこうしても近接根のときは収束がおそいことは相変らずであるから、

- (2) 逆反復をある程度やつて、まだ収束しないときは、レーリー商シフトつきの逆反復にひきつぐ。

じつは(1)において、一回ではなく二回スツルムを行なわねばならぬのは、この(2)のことを安全に行なわせたいがためである。もし、シフト差の両側に殆んど等しい距離のところに  $\lambda_k$  と  $\lambda_{k+1}$  がある、ということだと、レーリー商シフトをやってもうまく  $\lambda_k$  に近づいて呉れないことがある。

INVRAY { 固有ベクトルも同時に求めるもの }

 $Ax = \lambda x$  型用 $\ell_{\min}, \ell_{\max}, \ell_{\max}, \text{eps1}, \text{eps2}$  を与える。 $v_k$  ( $k=1 \dots p$ ) に初期ベクトルを与える。 $k = 1$ while  $k \leq p$  doif  $x_u[k] \neq x_u[k+1]$  or  $k = p$  then {1} $\alpha_f = (x_u[k] + x_l[k]) / 2$ ; Call Sturm

if count = k then {2}

 $x_l[k] = \alpha_f$ ;  $\alpha_f = (x_u[k] + \alpha_f) / 2$ ; Call Sturmif count  $\neq k$  then {3} $x_u[k] = \alpha_f$ ;  $\alpha_f = (\alpha_f + x_l[k]) / 2$ else  $x_l[k] = \alpha_f$  {3'}

else {2'}

 $x_u[k] = \alpha_f$ ;  $\alpha_f = (\alpha_f + x_l[k]) / 2$ ; Call Sturm

if count = k then {4}

 $x_l[k] = \alpha_f$ ;  $\alpha_f = (x_u[k] + \alpha_f) / 2$ else  $x_u[k] = \alpha_f$  {4'}

else

 $\alpha_f = x_u[k]$ ;  $\ell_{\min} = 1$ 

100 continue

 $\text{epsir} = 10^{-10}$ ; Call GLUBR3(ar, ac, ip, n, m1, alpha, epsir, ir) $w = v_k$ do  $j = \max(k-8, 1), k-1$  $w = w - (v_j^T v_k) v_j$  {5} $w = w / (w^T w)^{\frac{1}{2}}$ ;  $\alpha_f v_0 = 0.0$ ; iconv = 0do  $l = 1, \ell_{\max}$ 

{6}

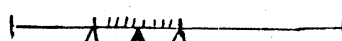
 $b = w$ ; Call GSBR(ar, ac, b, ip, n, m1, -) $\alpha_f v = 1.0 / w^T b$ ; eig =  $\alpha_f + \alpha_f v$ if  $|\alpha_f v - \alpha_f v_0| < \text{eps1}$  then iconv = 1 $\alpha_f v_0 = \alpha_f v$ ;  $w = b$ do  $j = \max(k-8, 1), k-1$  $w = w - (v_j^T b) v_j$  {7} $w = w / (w^T w)^{\frac{1}{2}}$ if  $l > \ell_{\min}$  and iconv = 1 then go to 200

200 continue

①	②	
$difc = \ Aw - eig * w\ _2$ <u>if <math>difc &lt; epse</math> then <math>ll = 0</math> ; go to 400</u>		
$irregu = 0$ <u>do <math>ll = 1, llmax</math></u>		
$b = w$ <u>Call GUSBR3(ar, b, n, m1, eig, epsir, ir)</u> $\beta = w^T b$ ; $\alpha = 1.0 / \beta$ ; $eig = eig + \alpha \beta$ $w = b$ ; $jmin = \max(k-8, 1)$ {8} <u>do <math>j = jmin, k-1</math> <math>w = w - (v_j^T b) v_j</math></u> {9}		
$w = w / (\omega^T w)^{1/2}$ <u>if <math> \alpha \beta  &lt; epse</math> then go to 300</u> {10}		
300	continue	
	$difc = \ Aw - eig * w\ _2$ {11}	
400	continue	
$v_k = w$ <u>if <math>eig &lt; xl[k]</math> or <math>eig &gt; xu[k]</math> then <math>irregu = 1</math></u>		
<u>write <math>k, l, ll, difc, eig, irreg</math> {その他 f, diflなど}</u> <u>if <math>eig &gt; xl[k] * (1 + 10^{-15})</math> then</u> {13}		
<u><math>\alpha = (\alpha + xl[k]) / 2</math> ; <math>k = k + 1</math> ; go to 100</u> <u>else <math>k = k + 1</math></u>		

## 〔解説〕

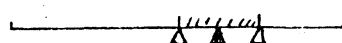
{3} :



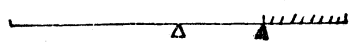
{3}'



{4} :



{4}'



{5} : 最近求まった8個の固有ベクトルは、 $W$ からぬきとられる。

{7}と{9} : 直前から8個前までの固有ベクトルの成分をぬきとつた。

次頁に GUSBR3 を示す。これを LU 分解部と右辺に対する前進・後退部とに分けたものが GLUBR3 と GSB である。

GUSBR3 ( ar, b, n, m1, eig, epsir, ir )

$m = m1 + 1 ; ir = 0$

do  $i = 1, m1$

do  $j = 1, i+m1$

$ar[j, i] = a_{i,j} - eig * \delta_{i,j}$

do  $j = i+m1+1, m1+m1+1$

$ar[j, i] = 0.0$

do  $k = 1, n$

$i_{max} = \min(k+m1, n) ; j_{max} = \min(k+m1+m1, n)$

if  $k+m1 \leq n$  then

do  $j = k, j_{max}$

$ar[1+j-k, k+m1] = a_{k+m1, j} - eig * \delta_{k+m1, j}$

$a_{max} = \text{abs}(ar[1, k]) ; ipk = k$

do  $i = k+1, i_{max}$

$a_{ik} = \text{abs}(ar[1, i])$

if  $a_{ik} > a_{max}$  then

$a_{max} = a_{ik} ; ipk = i$

$j_{kmax} = \min(1+m1+m1, n-k+1)$

if  $k \neq ipk$  then

$b[k] \leftarrow b[ipk]$

do  $jk = 1, j_{kmax}$

$ar[jk, k] \leftarrow ar[jk, ipk]$

if  $a_{max} < \text{epsir}$  then

$ar[1, k] = \text{epsir} * \text{sign}(ar[1, k]) ; ir = ir + 1$

do  $i = k+1, i_{max}$

$t = -ar[1, i] / ar[1, k]$

$b[i] = b[i] + t * b[k]$

do  $jk = 2, j_{kmax}$

$ar[jk-1, i] = ar[jk, i] + t * ar[jk, k]$

$ar[j_{kmax}, i] = 0.0$

do  $k = n$  downto 1

$j_{max} = \min(k+m1+m1, n)$

$sum = 0.0$

do  $j = k+1, j_{max}$

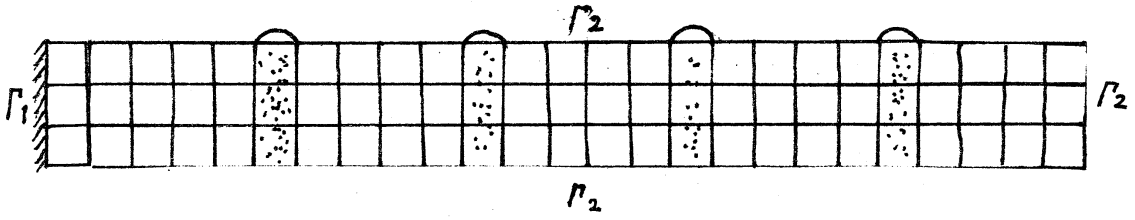
$sum = sum + ar[1+j-k, k] * b[j]$

$b[k] = (b[k] - sum) / ar[1, k]$

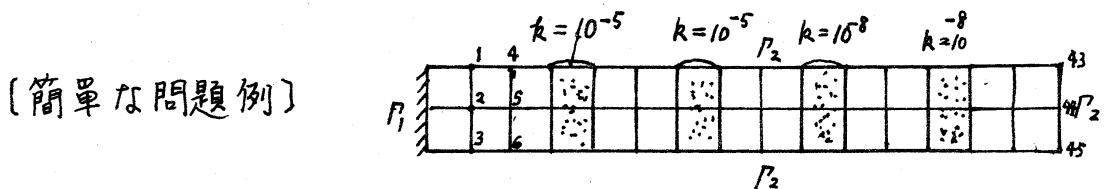
### 2.3 結果に関する中間報告

固有値計算プログラムのデバッグと、評価を行うに際して決定的に重要なのは、テスト問題の選択である。いろいろのレベルの近接度をもつた固有値系を、システムティックに作るために、有限要素法を利用した。すなはち、下図のような場を作り、■部の  $k$  値を任意に変えれば、思いのままの近接度をもつた行列が生成される。(□部の  $k=1.0$  にとる。)

$$\text{支配方程式} : \nabla \cdot (-k \nabla u) = \lambda u \rightarrow A u = \lambda M u \quad (\text{但し } M = I \text{とした。})$$



$$P_1 : u=0 \quad (\text{固定}), \quad P_2 : \nabla u=0 \quad (\text{自由})$$



節点番号を上のようにつけたから、これは、 $m=4$  ( $m_1=3$ ) の帶行列となる、 $n=45$ 。熱伝導の問題だと思えば、■のところが、熱伝導率の非常に小さい物質となつていて。

次頁上段に行列  $A$  を示す。左端の列にならんでいるのが対角項である。対称だから上半分だけ示している。次頁下段は、 $\text{epsbi}=10^{-4}$  によって BISECT を行なって、 $\text{epse}=10^{-10}$ ,  $\text{epse}=10^{-8}$  で LL 变換を行なつたときのもの、 $\text{eps1}=10^{-4}$  とした。

STRUM KAISU= 60				EIG	LL	F	DIFC	EIG
K	L	LL	F **	DIFC				
1	1	1	2	0.235D-12	0.000000000847585	0	0.1080-08	0.000000000854363
2	1	2	2	0.235D-12	0.0000000005814623	1	0.1790-09	0.0000000005814563
3	1	2	2	0.674D-14	0.000000850397529	2	0.8450-09	0.000000850397528
4	1	2	2	0.412D-15	0.000005818384915	2	0.2000-09	0.000005818384915
5	3	1		0.608D-15	0.130988706559026	1	0.5880-09	0.130988706559026
6	1	4	2	0.537D-15	0.633974604384458	2	0.1050-08	0.633974604251678
7	1	4	2	0.418D-12	0.633977726206820	6	0.6600-10	0.633977726206820
8	1	4	2	0.403D-12	0.633975953559265	5	0.8560-10	0.633982769889012
9	1	6	2	0.225D-11	0.63397459750951	4	0.5040-09	0.633975935359265
10	1	4	2	0.133D-13	0.63398276989012	2	0.7880-09	0.633974597626185
11	1	3	2	0.511D-11	0.633974599342076	2	0.6420-09	0.633974599341773
12	1	3	2	0.459D-11	0.633974604918049	3	0.4460-11	0.633983300138170
13	1	2	2	0.638D-15	0.633983300138170	2	0.4380-10	0.633974604918049
14	4	2		0.233D-15	0.759410727188718	2	0.2330-15	0.759410727188718
15	3	2		0.111D-15	0.981256155790828	2	0.1910-15	0.981255155790828
16	1	4	2	0.752D-13	1.0000000003964257	1	0.3240-08	1.0000000006083833
17	1	1	2	0.762D-13	1.00000000011034313	1	0.4920-08	1.0000000005209902
18	1	5	2	0.188D-13	1.0000003968777679	4	0.6650-10	1.0000003968777680
19	1	2	2	0.163D-13	1.00000011036336149	2	0.6640-10	1.0000011036336149
20	3	2		0.314D-15	1.655555485733648	2	0.3200-15	1.655555485733648
21	1	6	2	0.255D-14	1.697224367542230	4	0.1330-08	1.697224367793118
22	1	3	2	0.227D-14	1.697229641804310	3	0.4140-09	1.697229641804273
23	1	4	2	0.345D-14	1.697224374668973	3	0.1410-08	1.697224374668711
24	2	1		0.636D-15	1.697236764061253	0	0.3140-09	1.697236764061253
25	3	2		0.258D-15	1.933646468546035	2	0.4100-10	1.933646468546035

$$\text{epsbi} = 10^{-4}, \quad \text{epse} = 10^{-10},$$

$$\epsilon_{\text{PSE}} = 10^{-8} ,$$

\*  $K=6$  と  $K=12$  のものが  $10^{-10}$  のオーダーの近傍度となっていて、いちばん近い。

\*\*  $F=2$  となるのは BISECT にて「重複」扱いされたことを示している。

STRUM KAISU = 88

K	L	LL	F	DIFC	EIG	*
1	1	1	2	0.235D-12	0.000000000847585	
2	1	2	2	0.235D-12	0.000000005814623	
3	1	2	2	0.67D-14	0.000000850397529	
4	2	0	0.525D-11	0.000005818384915		
5	3	2	0.517D-11	0.130988706559026		
6	1	3	2	0.655D-12	0.633974604384458	
7	1	3	2	0.432D-12	0.633974599342072	
8	1	5	2	0.337D-12	0.633974597550948	
9	1	4	2	0.176D-12	0.633975935359265	
10	1	2	2	0.465D-12	0.633974604918049	
11	2	1	0.235D-12	0.633977726206820		
12	2	0	0.307D-10	0.633982769889014		
13	2	0	0.307D-10	0.633983300138170		
14	4	2	0.581D-15	0.759410727188718		
15	3	2	0.427D-14	0.981256155790828		
16	1	4	2	0.752D-13	1.0000000003964257	
17	1	1	2	0.792D-13	1.0000000011034313	
18	2	2	0.143D-13	1.0000003968777679		
19	2	0	0.525D-11	1.000011036336149		
20	3	2	0.442D-12	1.655555485733648		
21	1	4	2	0.655D-12	1.697224367542230	
22	1	3	2	0.133D-14	1.697224374668973	
23	2	1	0.125D-11	1.697229641804310		
24	2	1	0.135D-11	1.697236764061253		
25	3	2	0.117D-11	1.933646468546035		
44	49					

$$\text{epsbi} = 10^{-6}, \quad \text{epse} = 10^{-10},$$

K	L	LL	F	DIFC	EIG	*
0	2	0.108D-08	0.000000000854363			
1	2	0.179D-09	0.0000000005814563			
2	2	0.845D-09	0.000000850397528			
0	0	0.200D-09	0.000005813384915			
2	0	0.586D-09	0.130988706559025			
2	2	0.224D-09	0.633974604378081			
2	2	0.526D-09	0.633974599231349			
7	2	0.356D-08	0.633974602328289			
4	2	0.642D-09	0.633975935359265			
2	2	0.354D-08	0.633974599670639			
1	0	0.142D-10	0.633977726206820			
0	0	0.314D-10	0.633982769889014			
0	0	0.307D-10	0.633983300138170			
2	0	0.580D-15	0.759410727188718			
2	0	0.427D-14	0.981256155790828			
1	2	0.324D-08	1.000000006083833			
1	2	0.492D-08	1.000000005209902			
1	0	0.494D-11	1.000003968777679			
0	0	0.681D-11	1.000011036336149			
2	0	0.442D-12	1.655555485733643			
2	2	0.123D-08	1.697224367760609			
2	2	0.125D-08	1.697224374668917			
0	0	0.374D-08	1.697229641806272			
0	0	0.440D-08	1.697236764060845			
2	0	0.312D-09	1.933646468546035			
48						

$$\text{epse} = 10^{-8}$$

以上は、 $\text{epse} = 10^{-10}$  と  $10^{-8}$  のときのものであつた。次に、  
 $\text{epse} = 10^{-12}$  としたものを示そう。これでみると、DIFC, すな  
 わち  $\|A\omega - \text{eig} \cdot \omega\|_2$  が <sup>殆んど</sup>すべて  $10^{-15}$  以下に収まっている。

K	L	LL	F	DIFC	EIG	*
1	1	2	2	0.310D-15	0.000000000847585	
2	1	2	2	0.445D-15	0.000000005814623	
3	1	2	2	0.335D-15	0.000000850397528	
4	2	1	1	0.342D-15	0.000005818384915	
5	3	2	0	0.233D-15	0.130988706559026	
6	1	4	2	0.244D-15	0.633974604384458	
7	1	4	2	0.170D-15	0.63397459932072	
8	1	6	2	0.235D-15	0.633974597550948	
9	1	4	2	0.204D-15	0.633975935359265	
10	1	2	2	0.325D-15	0.633974604918049	
11	2	2	0	0.350D-15	0.633977726206820	
12	2	1	0	0.245D-15	0.633982769889012	
13	2	0	0	0.728D-14	0.633983300138170	
14	4	2	2	0.570D-15	0.759410727188718	
15	3	2	2	0.425D-14	0.981256155790828	
16	1	5	2	0.316D-15	1.000000003964257	
17	1	2	2	0.614D-15	1.0000000011034313	
18	2	2	2	0.303D-15	1.0000003968777629	
19	2	1	1	0.624D-15	1.000011036336149	
20	3	2	2	0.215D-15	1.655555485733648	
21	1	4	2	0.162D-14	1.697224367542230	
22	1	3	2	0.133D-14	1.697224374668973	
23	2	2	0	0.255D-15	1.697229641804310	
24	2	1	0	0.423D-15	1.697236764061253	
25	3	2	2	0.250D-15	1.933646468546035	
44	57					

$$\text{epsbi} = 10^{-6}$$

$$\text{epse} = 10^{-12}$$

\* EIG は、 $\text{epse} = 10^{-10}$  でのもので、すでに 3 台んとすべて  $10^{-15}$  の位まで収まっている。

### [参考]

右端の DIF1 は、  
 LL の最後のひと  
 つ前のときにお  
 ける DIFC の値  
 を示している。

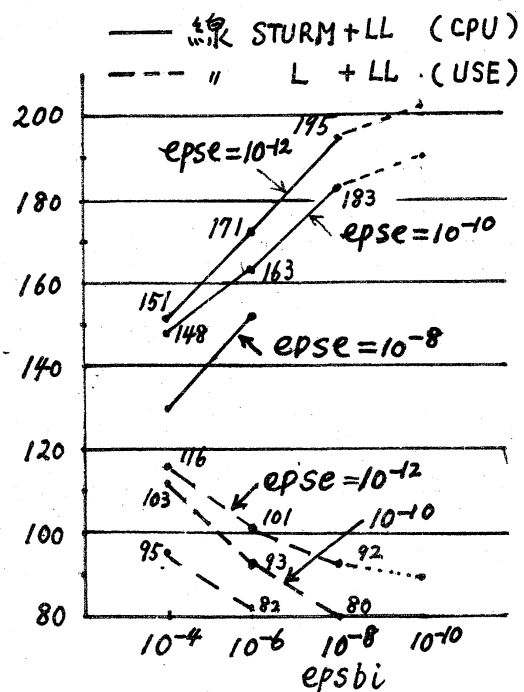
DIF1 と DIFC  
 を比べて見ると、  
 最後の反復でど  
 れぐらい改善さ  
 れたかが判る。

$\text{epsbi}$  と  $\text{epse}$  を動かすとき、CPU タイムと USE タイムが傾向としてどのように変化するかを調べてみる。CPU タイムにとつては、STURM 回数と LU 分解数が利く。USE タイムにとつては、LU 分解数のほかに L 反復の回数が利く。下表にそのとりまとめた結果を示す。(L 反復の前の LU 分解はいつでも、必ずやるから表にはあげない。)

$\text{epsbi}$	$\text{epse}$	(BISEC) STURM	(INVRAY) STURM	L	LL	STURM+LL	L+LL
$10^{-4}$	$10^{-12}$	60	12	37	79	151	116
	$10^{-10}$				76	148	113
	$10^{-8}$					130	95
$10^{-6}$	$10^{-12}$	88	26	44	57	171	101
	$10^{-10}$				49	163	93
	$10^{-8}$				38	152	82
$10^{-8}$	$10^{-12}$	115	38	50	42	195	92
	$10^{-10}$				30	183	80
	$10^{-8}$						

上の表では印象が不鮮明ゆえ、ぐらふにしてみたのが右のものである。大体、思惑通りの結果ではあるが、 $\text{epse}$  を甘くしても、そう大して計算時間がみちかくなうぬのは意外に近い印象を受けた。

改善の余地はある。



### (ひとつ改善案)

初め粗い  $\text{epsbi}$  (たとえば  $10^{-4}$ ) で BISECT を行なうと、その段階で各固有値が密集したあるグループに属しているか、それとも孤立しているかが判る。(たとえば先程の例で  $\text{epsbi} = 10^{-4}$  を使用すれば、 $\lambda_1 \sim \lambda_4$  が第1密集グループ、 $\lambda_5$  が孤立根、 $\lambda_6 \sim \lambda_{13}$  が第2密集グループ … という具合である。)

そこで、孤立根に対してはほぼ先程の通りの処理を行なうが、密集グループに属するものに対しては、各グループ毎にシフト差を使えんで、シュミット直交化つきの古典的な同時逆反復法をほどこす。

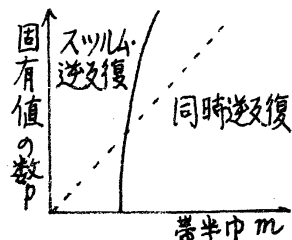
この同時逆反復法で、各固有値への収束は比較的速い。固有ベクトルの方は、各固有値に対応させて計算機の限度に近いほどの精度で求めようとするとやはり収束に手間どる。従って、適当なところで各固有値毎にシフト差を移しての逆反復にひきつぐがよい。

しかし、固有ベクトルについては、それらが張るところの部分空間が、問題の密集固有値に対する固有空間に収束すればそれで十分だという考え方ならば、その必要はない。

同時逆反復法は、ベクトルの収容法をうまく考え、プログラムに若干の工夫をこらすことによって、ページスワップを大中に減らすことができる。

### 3 同時逆反復法

CPU タイムについては、スツルム・逆反復法と、同時逆反復法の適用範囲の傾向は、およそ右図のようになる。ページスワップについてはどうであろうか、ここでは Bathe の Subspace 法をとり上げる。常識的なアルゴリズムはおよそ下記の如くなろう:



初期  $X = \{x_1, \dots, x_q\}$  を用意,  $q = \min(p+8, 2p)$

$A$  を  $L^T D U$  分解 ;  $k=0$

while  $k \leq k_{max}$  and  $\|Ax_p - \tilde{x}_p M x_p\| / \|\tilde{x}_p M x_p\| > \text{eps}$  do

```

do i=1, q { Y = MX を作る }
    xi = xi / sqrt(xi^T xi); yi = Mi xi
do i=1, q { Abar X = Y を解く } (*) 
    z = L^-1 yi; xbar_i = (DL^-1)^T z
do i=1, q { q x q 行列 Abar = Xbar^T A Xbar, Mbar = Xbar^T M Xbar を作る }
    z = Mbar xbar_i; mbar_i = Xbar^T z; alphabar_i = Xbar^T yi
solve eigenprob: Abar Qbar = Mbar Qbar Abar
do i=1, q { もとの空間のベクトルにひきのばす }
    xi = Xbar qbar_i
k=k+1

```

研究集会当時にはこれでもつて評価し、スツルム逆反復法とくらべた。そして、「ページスワップに関しては  $q > m$  となると全くサブスペースは不利である。」と結んだ。実は、上の通りのアルゴリズムだとそうなるが、サブスペースにおいては、右辺のベクトル  $Y$  をブロック化して收め、ブロック毎に前進・後退代入をやればページスワップを大目に減らす

ことができる事が判った。SAP IV の Subspace プログラムを調べてみると、これは仮想メモリ方式向けてないが、A と Y と共によこ方向にブロック化して処理することによって、ディスクと主メモリの転送回数を減らす工夫がすでにしていた。我々の場合、仮想メモリ方式の利点を利用できるから、A の方は普通の通りとして、( すなはち DL は普通の通りとして、Y (したがって X も) だけをよこ方向にブロック化して収容してのアルゴリズムを採用すればよい。

一以上、前言を訂正し、お詫びをしたい。一

さて、問題のサブスペースに関し、極く最近原著者 Bathe 自身による注目すべき改良が発表された<sup>(3)</sup>。

#### 4. 対称帶 $Ax = \lambda x$ に対する直接 QR 法

問題をこの型に限るならば、A を特殊なハウスホルダ変換の列によつて帶中をもとの二倍におさえて三重対角化する方法が、筆者らによつて考案、開発された。<sup>(4)</sup> この方法は汎用的ではあるが、帶中が大きくなると、やはりページスワップネックとなる。今までやつた問題の上限は、帶半中 80, 元数 8000 である。それにしても、所望の固有値の数  $\lambda$  が大きくなるとこの方法によらざるを得ないが、 $\lambda$  が比較的小さい問題には、帶 QR 法の方が有望となる。そういう観点から、帶 QR 法をとり上げることにした。

[原理の復習]  $A = A_1 \cdots$  とする。単位直交変換  $Q_\ell^T$  により、 $A_\ell$  を三角化:  $Q_\ell^T A_\ell = R_\ell$  即ち  $A_\ell = Q_\ell R_\ell$ ,  $Q_\ell^T Q_\ell = I$  する。ここに  $Q_\ell^T = (I - \alpha_\ell^{(n-1)} w_\ell^{(n-1)} w_\ell^{(n-1)T}) \cdots (I - \alpha_\ell^{(0)} w_\ell^{(0)} w_\ell^{(0)T})$ 。  
 $Q_\ell R_\ell$  を逆順に掛けて  $A_{\ell+1} := R_\ell Q_\ell (= Q_\ell^T A_\ell Q_\ell)$  とすると  $\ell \rightarrow \infty$  のとき  $A_{\ell+1}$  は  $\lambda_n \geq \cdots \geq \lambda_1 > 0$  を対角要素とする対角行列に収束する。内容的には、 $P_\ell := Q_1 \cdots Q_\ell$  の各列ベクトルは、単位行列  $I$  の各列ベクトルを初期ベクトルとしたシミュット直文化つき同時逆反復法によって得られたベクトル  $\bar{x}_\ell$  に等しい。すなわち 同時逆反復法の一種 と見なされる。<sup>(2)</sup>

我々のアルゴリズムは、帶QR法がシミュット直文化つきの同時逆反復法だという見方に強く影きようされているので、以下（本質的には（2）に従って）その説明の大筋を見ておく。

$$A_{\ell+1} := P_\ell^T A P_\ell, \text{ 但し } P_\ell := Q_1 \cdots Q_\ell, S_\ell := R_\ell \cdots R_1 \quad \cdots (1)$$

$$\text{とおくと, } P_\ell S_\ell = Q_1 \cdots Q_{\ell-1} Q_\ell R_\ell R_{\ell-1} \cdots R_1 = P_{\ell-1} A_\ell S_{\ell-1} \quad \cdots (2)$$

$$(1) \text{ より, } A_\ell = P_{\ell-1}^T A P_{\ell-1}, \text{ 従って } P_{\ell-1} A_\ell = A P_{\ell-1}, \text{ これを (2) に入れて,}$$

$$\underline{P_\ell S_\ell} = A P_{\ell-1} S_{\ell-1} = A^2 P_{\ell-2} S_{\ell-2} = \cdots = \underline{A^\ell} \quad \cdots (3)$$

同時逆反復法の方を  $n$  列ベクトルの方から順に直文化して

$$A X_\ell = \bar{X}_{\ell-1}, \bar{X}_\ell = L_\ell X_\ell \quad \text{即ち} \quad A \bar{X}_\ell L_\ell^{-1} = \bar{X}_{\ell-1} \quad \cdots (4)$$

$$\text{と書くと, } \bar{X}_\ell = A^{-1} \bar{X}_{\ell-1} L_\ell = A^{-2} \bar{X}_{\ell-2} L_{\ell-1} L_\ell = \cdots = A^{-\ell} \bar{X}_0 \underline{L_1 \cdots L_\ell} \cdots$$

$$\text{より, } \bar{X}_\ell = A^{-\ell} \tilde{L}_\ell, A^\ell = \tilde{L}_\ell \bar{X}_\ell^T. \text{ これを転置して, } \tilde{L}_\ell \text{ とおく.}$$

$$A^\ell = \bar{X}_\ell \tilde{L}_\ell^T \quad \cdots (5)$$

(3), (5) より  $A^{2\ell} = S_\ell^T S_\ell$ ,  $A^{2\ell} = \tilde{L}_\ell \tilde{L}_\ell^T$  を得るゆえコレスキー分解の一意性によって、 $S_\ell = \tilde{L}_\ell^T$  が従がう。一方、(3), (5) から  $P_\ell = A^\ell S_\ell^{-1}$ ,  $\bar{X}_\ell = A^\ell (\tilde{L}_\ell^T)^{-1}$  ゆえ、 $P_\ell = \bar{X}_\ell$  が従がう。（終）

シュミット直文化つき同時逆反復法だということから、重複あるいは近接固有値があつてもうまく行く筈である。また原理通りやつたのでは近接固有値があるとき収束ははなはだ遅い。そこで、原点シフトを必ずやることに昔からなつている。

### [プログラム作成上の要実をおさえるための考察]

$$\bar{x}_1^{(0)} = c_1 u_1 + c_2 u_2 + c_3 u_3 + \dots + c_n u_n, c_i \neq 0 \quad (\text{初期ベクトル})$$

と書く。(QR法ではこれらは implicit である。同時逆反復とみての話)

$\lambda_1 < \lambda_2$  のときは、逆反復法の原理からして、

$$\begin{aligned} \bar{x}_1^{(\ell)} &= \left(\frac{1}{\lambda_1}\right)^\ell \left\{ c_1 u_1 + \left(\frac{\lambda_1}{\lambda_2}\right)^\ell c_2 u_2 + \left(\frac{\lambda_1}{\lambda_3}\right)^\ell c_3 u_3 + \dots \right\} / k \\ &= \alpha_1 u_1 + \varepsilon_{12} u_2 + \dots \quad \text{と書く。} \end{aligned}$$

$\lambda_1 = \lambda_2 < \lambda_3$  なら、  
{  $k$  は正規化のための因子 }

$$\bar{x}_1^{(\ell)} = \left(\frac{1}{\lambda_1}\right)^\ell \left\{ c_1 u_1 + c_2 u_2 + \left(\frac{\lambda_1}{\lambda_3}\right)^\ell c_3 u_3 + \dots \right\} / k$$

$$\underline{A}_{\ell+1} = P_\ell^T A P_\ell = \underline{\bar{X}_\ell^T A \bar{X}_\ell}, \quad \bar{X}_\ell = [\bar{x}_n^{(\ell)}, \dots, \bar{x}_1^{(\ell)}], \quad \bar{x}_3^{(\ell)} = \begin{bmatrix} 0 \\ 0 \\ \vdots \\ 0 \\ 1 \\ 0 \\ 0 \end{bmatrix}$$

となつてているから、

$A_{\ell+1}$  の右下隅に近いところの要素：  
をしらべてみる。それらは  $\bar{x}_i^T A \bar{x}_j$  で、

$$\bar{x}_i^T A \bar{x}_i = (\alpha_i)^2 \lambda_i + \sum_{k \neq i} (\varepsilon_{ik})^2 \lambda_k \quad (\text{対角項})$$

$$\bar{x}_i^T A \bar{x}_j = \alpha_i \varepsilon_{ji} \lambda_i + \varepsilon_{ij} \alpha_j \lambda_j + \sum_{k \neq i, j} \varepsilon_{ik} \varepsilon_{jk} \lambda_k \quad (\text{非対角項})$$

いま、 $\lambda_1 < \lambda_2$  だが  $\lambda_1 \approx \lambda_2$  (近接) だとしてみると、

右下隅の (1,1) 要素  $\bar{x}_1^T A \bar{x}_1 = (\alpha_1)^2 \lambda_1 + (\varepsilon_{12})^2 \lambda_2 + \dots$  の収束は

順調であるが、(1,2)=(2,1) 要素  $= \bar{x}_1^T A \bar{x}_2 = \alpha_1 \varepsilon_{21} \lambda_1 + \varepsilon_{12} \alpha_2 \lambda_2 + \dots$

は、 $\varepsilon_{12}$  ( $\bar{x}_1^{(\ell)}$  の  $u_2$  成分) のため 収束がおそい。

プログラム作成上の要典としては、重複、あるいは極度に近接した固有値が密集しているとき、如何にうまく処理するか、ということがその第一である。

[アイデアの解説]

$0 < \lambda_1 \leq \lambda_2 \leq \dots$  とし、 $\bar{A} = A - \lambda_1 I$  とおく。行列  $\bar{A}$  の階数不足値  $i\gamma$  を  $tol$  の粗さ(精しさ)に応じて決定できる特別のハウスホルダ三角分解アルゴリズム<sup>(5)</sup>を応用した新しい  $Q^T A Q$  変換のプログラム：  $QTAQBR$  を使用する。

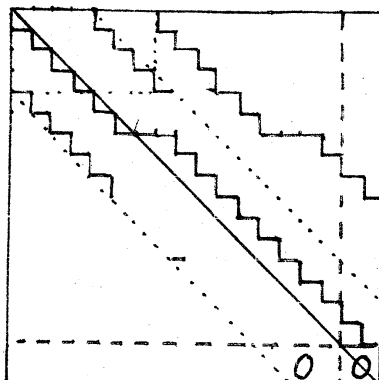
$\lambda_1$  が  $s$  重の固有値なら、 $\bar{A}$  は  $s$  重のゼロ固有値を持ち、 $\bar{A}$  の階数不足値  $i\gamma$  がちょうど  $s$  となる。 $(s=2 \text{ の場合}) \rightarrow$

例えは  $s=2$  の場合、三角分解を

$$Q^T \bar{A} = R, \bar{A}_2 = Q^T \bar{A} Q$$

を作ると、 $\bar{A}_2$  は元の帶のワク内に收まり、かつ下二行はゼロとなる。(今は対称ゆえ右二列もゼロ)これは 2 重のゼロ固有値をもつていていることは明らかである。

このときは  $\bar{A}_2 = Q^T \bar{A} Q$  の下二行、右二列を一擧に落して先に進めばよい。従って、重複固有値があれば、それだけ仕事がかかる、という好ましい結果になる。 $\lambda_1, \lambda_2$  を重複とみるかどうかは、 $tol$  をどう与えるかによるゆえ、これを特に粗くとれば、仕事を早く済ますことができる。



EIGQR { tol(精), tol<sub>c</sub>(粗) を与える. (例 tol=10<sup>-10</sup>, tol<sub>c</sub>=10<sup>-4</sup>) }  
 alfa: 所望の固有値  $\lambda_1 \dots \lambda_p$  の上界とする. (あるいは anorm = ||A||.)

$k = 1$ ;  $n_v = n$ ;  $eig[0] = 0.0$ ;  $eig_v = 0.0$

$\epsilon_{PS} = 10^{-16} * \underline{\text{alfa}}$

行列 A(n,n) に対し QTAQBR を行う

if  $i_r > 0$  then {ゼロ固有値を始末する}

do	$i = 1, i_r$
	$eig[i] = eig[0]$
	$n_v = n - i_r$ ; $k = k + i_r$

while  $k \leq p$  do

repeat {シフト莫定の QTAQ 粗反復}

$\text{diag} = a[n_v, n_v]$ ;  $\epsilon_{PS} = 10^{-16} * \underline{\text{alfa}}$

行列 A(n\_v, n\_v) に対し QTAQBR を行う.

{\*}

until  $\text{abs}(a[n_v, n_v] - \text{diag}) < tol_c * \underline{\text{alfa}}$

$eig_v = a[n_v, n_v]$ ;  $eig[k] = eig[k-1] + eig_v$

$\epsilon_{PS} = \max(10^{-16} * \underline{\text{alfa}}, tol * \text{abs}(eig_v))$

repeat {毎回シフトを行ないながらの QTAQ 精反復}

do	$i = 1, n_v$	{シフト}
	$a[i, i] = a[i, i] - eig_v$	

行列 A(n\_v, n\_v) に対し QTAQBR を行う

$eig_v = a[n_v, n_v]$ ;  $eig[k] = eig[k] + eig_v$

until  $i_r > 0$  {翠根なら  $i_r = 1$ }

do  $i = 1, i_r - 1$  { $i_r = 1$  ならやらない}

	$eig[k+i] = eig[k]$
--	---------------------

$n_v = n_v - i_r$ ;  $k = k + i_r$

{\*} の QTAQBR は、これから求めようとしている  $\lambda_k$  (およびそれと近接して  $\lambda_{k+1}$  がもしあれば  $\lambda_{k+1}$  も) に対応する固有ベクトル成分を、他とくらべて卓越させるためのものである。

QTAQBR (  $a[n, nv]$ ,  $\text{eps}$ ,  $iY$ ,  $iRow$ ,  $l$ ,  $m1$

$iY = 0$ ;  $m = m1 + 1$ ;  $iRmax = l - m$ ;  $iRow = 0$

do  $kk = 1, nv$

$k = kk - iY$ ;  $iMax = \min(0(kk+m1), nv)$

$sum = \sum_{i=k}^{iMax} a[i, kk]^{**2}$

$sk = \sqrt{sum}$ ;  $jMax = \min(0(kk+2*m1), nv)$

if  $sk > \text{eps}$  then

$hk = sk * (sk + abs(a[k, kk]))$ ;  $alf[k] = 1.0/hk$   
if  $a[k, kk] < 0.0$  then  $sk = -sk$

$wk[1, k] = a[k, kk] + sk$ ;  $a[k, kk] = -sk$

do  $i = k+1, iMax$

$wk[i-k+1, k] = a[i, kk]$ ;  $a[i, kk] = 0.0$

$p^T = \alpha w^T A$  を行う

$A = A - wp^T$  を行う

else

$iY = iY + 1$

do  $i = k, iMax$   $a[i, kk] = 0.0$

if  $(iY > iRmax) \wedge (k+l-1 \leq n)$  then

$iRow = 1$ ; return

$iRk[k] = iY$

④ if  $ky + m1 + iRk[ky] < kk$  then

$R(I - \alpha w w^T)$  を行う {  $P = \alpha R w$ ,  $A = R - P w^T$  }

$ky = ky + 1$

while  $ky \leq nv - iY$  do

$R(I - \alpha w w^T)$  を行う {  $P = \alpha R w$ ,  $A = R - P w^T$  }

$ky = ky + 1$

return

RQ 変換を④と⑤とに分けることによって ページスワップ。

を大中に減らすことができる。ほこのプログラムは‘原理’を確認するために作ったもので、実際には、帶のワク内でうまくやるためにかなり手のこんだプログラムを作る。(未プログラム)

## [テスト例]

$$* = 1 + e, e = 10^{-12}, 10^{-10}, 10^{-8}, 10^{-6}$$

$$tol = 10^{-8}$$

	$e = 10^{-12}$	$10^{-10}$	$10^{-8}$	$10^{-6}$
1	0.0	0.0	0.0	0.0
2	0.0	0.0	0.0	0.0
3	0.000000000000	0.000000000025	0.000000002500	0.000000249999
4	0.585786437627	0.585786437669	0.585786441894	0.585786864403
5	0.585786437627	0.585786437669	0.585786441894	2.000000250000
6	0.585786437627	0.585786437669	0.585786441894	3.414213635594
7	2.000000000000	2.000000000025	2.000000002500	0.585786437626
8	2.000000000000	2.000000000025	2.000000002500	0.585786437626
9	2.000000000000	2.000000000025	2.000000002500	1.999999999999
10	3.414213562373	3.414213562380	3.414213563105	1.999999999999
11	3.414213562373	3.414213562380	3.414213563105	3.414213562373
12	3.414213562373	3.414213562380	3.414213563105	3.414213562373

反復回数 → 粗 7, 精 4

7, 4      7, 4      10, 11

あと (+1) (+1) " (+1) (+1)

で 12ヶタまで正しく出る

$$tol = 10^{-12}$$

	$e = 10^{-12}$	$10^{-10}$	$10^{-8}$	$10^{-6}$
1	0.0	0.0	0.0	0.0
2	0.0	0.0	0.0	0.0
3	0.000000000000	0.000000000025	0.000000002500	0.000000249999
4	0.585786437627	0.585786437669	0.585786441894	0.585786864403
5	0.585786437627	0.585786437626	0.585786437626	2.000000250000
6	0.585786437627	0.585786437626	0.585786437626	3.414213635596
7	2.000000000000	2.000000000024	2.000000002499	0.585786437626
8	2.000000000000	2.000000000000	3.414213563105	0.585786437626
9	2.000000000000	2.000000000000	2.000000000000	3.414213562373
10	3.414213562373	3.414213562380	2.000000000000	3.414213562373
11	3.414213562373	3.414213562373	3.414213562373	2.000000000000
12	3.414213562373	3.414213562373	3.414213562373	2.000000000000

粗 7, 精 4

18, 12

14, 11

10, 13

13頁に示した例題を従来の帯QR法でやると、固有値の求まる順が、はなはだしく乱れる。(左端の場から單根  $0.1309\ldots, 0.7594\ldots$ , のたぐいがづい分あとになってやっと求まる。) 新しいEIGQRで相当改善はされるが、不充分である。こういう問題に対しては。

- (1) 粗いTol(例えば $10^{-4}$ )を使ってEIGQRを走らせる。  
その結果 Tol 値以下に近接したものは‘重複’と判定される。  
重複度を含め所望の箇数を可なり上まわって求める。
- (2) スツルムチェックにより所望の固有値は上で求めたものに全部含まれているかどうか調べる。
- (3) ‘重複’扱いを受けた固有値グループ毎にシフト実をえらび、今度は精しいTol(例えば $10^{-12}$ )によってEIGQRを走らせる。

### [文献]

- (1) Martin-Wilkinson : 'Solution of Symmetric and Unsymmetric Band Equations and the Calculations of Eigenvectors' Numer. Math. 9, 279-301 (1967)
- (2) Bathe/Wilson, 菊地訳 : 有限要素法の数値計算 530頁~531頁
- (3) Bathe/Ramaswamy : 'An accelerated subspace iteration method' Comp. Meths. Appl. Mech. Eng. 23 (1980) 313-331
- (4) 村田/堀越 : ‘対称帯行列を三重対角化するための新アルゴリズム’  
情報処理 Vol 16, No 2, (1975年2月)
- (5) 村田/二村/門間 ‘仮想記憶方式の下での大形行列計算技術’  
情報処理 Vol 21, No 2, (1980年4月)